

$$-\frac{\sigma_y h R^2}{D} (\alpha_h^2 + \beta_m^2)^2 \alpha_h^2 - \omega^2 \rho h \frac{R^4}{D} (\alpha_h^2 + \beta_m^2)^2$$

где  $\sigma_x, \sigma_y$  — начальные мембранные напряжения.

Приведем результаты расчета устойчивости оболочки с параметрами  $l=2\pi$ ,  $\varepsilon=400$  для различных случаев закрепления поверхности. На фигуре представлены зависимости безразмерного критического давления  $p/p_0$  ( $p_0$  — критическое давление для неподкрепленной оболочки) от параметра  $C_* = c/Eh$  жесткости опорных точек для случая закрепления оболочки в среднем сечении в трех, четырех, пяти, шести и семи точках, равноудаленных одна от другой. При закреплении в трех — шести точках, начиная с некоторого значения жесткости  $C_{**}$  опорных точек, дальнейшее ее увеличение не изменяет величины критического давления. При закреплении в семи точках имеет место асимптотическое приближение к предельной величине критического давления. Наибольший эффект из рассмотренных случаев дает закрепление в пяти точках.

Были получены результаты расчета для случая закрепления оболочки по каждому из двух сечений ( $x_1 = 1/3l, x_2 = 2/3l$ ) также в трех — семи точках. Качественная картина получается аналогичная. Но здесь для достижения одинакового результата по критическому давлению требуется примерно в 1.5 раза большая суммарная жесткость опор, чем в предыдущем случае.

Поступила 28 III 1974

#### ЛИТЕРАТУРА

1. Ting L., Juan S. W. On radial deflection of a cylinder of finite length with various end conditions. J. Aeronaut Sci., 1958, vol. 25, No. 4.
2. Упругие оболочки. М., Изд-во иностр. лит., 1962.
3. Даревский В. М., Шаринов И. А. Свободные колебания цилиндрической оболочки с сосредоточенной массой. Тр. VI Всес. конф. по теории оболочек и пластинок. М., «Наука», 1966.

УДК 539.3:534.1

#### ИССЛЕДОВАНИЕ УСТОЙЧИВОСТИ ЦИЛИНДРИЧЕСКОЙ ОБОЛОЧКИ ПРИ НЕОДНОРОДНОМ ПО ДЛИНЕ ОСЕВОМ СЖАТИИ

В. В. КАБАНОВ, Г. И. КУРЦЕВИЧ

(Новосибирск)

Изложена методика расчета на устойчивость круговой цилиндрической оболочки при действии в ее срединной поверхности неоднородных по длине осевых и окружных усилий. Исходное состояние оболочки моментное. В рамках конечно-разностного метода разработан численный алгоритм, позволяющий исследовать устойчивость оболочки при различных нагрузках и граничных условиях. В отличие от известных алгоритмов исходное состояние оболочки исследуется численно. В качестве примера приводятся результаты исследования устойчивости оболочки при нагружении ее изменяющимися по длине осевыми усилиями. Анализируется влияние моментности исходного состояния и неравномерности усилий.

1. Исходное состояние оболочки. Рассмотрим круговую цилиндрическую оболочку, в срединной поверхности которой действуют неоднородные по длине усилия  $T_1 = -Nf(x)$ . Функция  $f(x)$  характеризует изменение усилий по длине,  $N$  — амплитуда усилия. Усилия такого рода могут возникнуть в резервуарах при действии собственного веса, в корпусах ракет от сил инерции при старте и т. д.

Исходное напряженно-деформированное состояние оболочки определяется решением уравнения нелинейного краевого эффекта

$$Dw_{xxxx} + N(fw_{xx} + f_x w_x) + Ehk_2^2 w = -k_2 v f N \quad (1.1)$$

$E$ ,  $v$  — модуль Юнга и коэффициент Пуассона;  $w$  — прогиб оболочки;  $R$ ,  $h$  — радиус и толщина оболочки. Координата  $x$  в индексах означает дифференцирование. Уравнение (1.1) имеет переменные коэффициенты, поэтому решается численно.

Введем обозначения

$$\eta = \frac{x}{\theta}, \quad W = \frac{w}{\theta}, \quad N^* = \frac{N}{T_B} = \frac{N}{2Eh\alpha_0^2}$$

$$\theta^2 = \frac{hR}{\sqrt{12(1-v^2)}}, \quad \alpha_0 = k_2 \theta, \quad T_B = \frac{2Eh^2}{R\sqrt{12(1-v^2)}}$$

Запишем уравнение (1.1) в безразмерном виде

$$W_{\eta\eta\eta\eta} + 2N^*(fW_{\eta\eta} + f_\eta W_\eta) + W = -2v f N^* \alpha_0 \quad (1.2)$$

Заменим уравнение (1.2) системой двух уравнений второго порядка

$$W_{\eta\eta} - \chi = 0, \quad \chi_{\eta\eta} + 2N^*(f\chi + f_\eta W_\eta) + W = -2v f N^* \alpha_0 \quad (1.3)$$

Разбив относительную длину оболочки  $\eta_m = L/\theta$  на  $m$  частей с шагом  $c = \eta_m/m$  и заменив производные через центральные разности

$$2cW_{i\eta} = W_{i+1} - W_{i-1}, \quad c^2 W_{i\eta\eta} = W_{i+1} - 2W_i + W_{i-1}$$

запишем систему (1.3) в конечно-разностной форме

$$\begin{aligned} & W_{i+1} - 2W_i + W_{i-1} - c^2 \chi_i = 0 \\ & \chi_{i+1} - 2\chi_i + \chi_{i-1} + 2N^*c^2 [f_i \chi_i + f_{i\eta}(W_{i+1} - W_{i-1})/2c] + c^2 W_i = -2v c^2 N^* f_i \alpha_0 \end{aligned} \quad (1.4) \quad (i=0, 1, 2, \dots, m)$$

Введем вектор столбец  $\vartheta = \{W, \chi\}$  и преобразуем систему (1.4) к одному векторно-матричному уравнению

$$C_i \vartheta_{i-1} + B_i \vartheta_i + A_i \vartheta_{i+1} = \alpha_0 E_i \quad (1.5)$$

$$A_i C_i = \begin{vmatrix} 1 & 0 \\ \pm c N^* f_{i\eta} & 1 \end{vmatrix}, \quad B_i = \begin{vmatrix} -2 & -c^2 \\ 0 & -2(1 - c^2 f_i N^*) \end{vmatrix}, \quad E_i = \begin{vmatrix} 0 \\ -2v c^2 f_i N^* \end{vmatrix}$$

Уравнение (1.5) следует дополнить граничными условиями, которые в векторно-матричной форме имеют вид

$$G_i(\vartheta_{i+1} - \vartheta_{i-1}) + D_i \vartheta_i = 0 \quad (i=0, m) \quad (1.6)$$

Матрицы  $G_i$  и  $D_i$  определяются видом граничных условий. Для опертой оболочки ( $w=w_{xx}=0$ ) имеем:  $G_i = \|0\|$ ,  $D_i = \|1\| = I$ .

Таким образом, получили систему  $m+3$  алгебраических уравнений (1.5), (1.6) с  $m+3$  неизвестными. Система имеет рекуррентный характер, ее решение легко получить методом матричной прогонки. Положим

$$\vartheta_i = M_i \vartheta_{i+1} + K_i \quad (1.7)$$

Подставив  $\vartheta_{i+1}$  из (1.7) в (1.5) и сравнив с (1.7), получим выражение для матриц

$$M_i = -(B_i + A_i M_{i+1})^{-1} C_i, \quad K_i = (B_i + A_i M_{i+1})^{-1} (\alpha_0 E_i - A_i K_i) \quad (1.8)$$

Матрицы  $M_m$  и  $K_m$ , необходимые для начала счета по рекуррентным формулам (1.8), получим из граничных условий (1.6) при  $i=m$

$$G_m(\vartheta_{m+1} - \vartheta_{m-1}) + D_m \vartheta_m = 0. \quad (1.9)$$

В точке  $i=m$  должно выполняться и уравнение (1.5). Решая совместно уравнения (1.9) и (1.5) и принимая во внимание (1.7) при  $i=m$ , получаем

$$M_m = -2(-D_m + G_m A_m^{-1} B_m)^{-1} G_m A_m^{-1}, \quad K_m = -\alpha_0 (D_m - G_m A_m^{-1} B_m)^{-1} G_m A_m^{-1} E_m \quad (1.10)$$

Вектор  $\vartheta_0$  в (1.7) получим из граничных условий (1.6) при  $i=0$ , подставив  $\vartheta_1$  и  $\vartheta_{-1}$  согласно (1.7)

$$\vartheta_0 = [G_0(M_0^{-1} - M_1) - D_0]^{-1} G_0(K_1 + M_0^{-1} K_0) \quad (1.11)$$

Формулы (1.7), (1.8), (1.10), (1.11) составляют вычислительный алгоритм матричной прогонки. По найденным значениям  $\vartheta_i$  определяются его компоненты  $W_i$ ,  $X_i = W_{i\eta\eta}$ . После этого находится окружное усилие  $T_2 = -Ehk_2w + \nu T_1$ .

**2. Устойчивость оболочки.** Устойчивость исходного равновесного состояния оболочки исследуем, используя уравнения устойчивости пологих оболочек

$$\begin{aligned} D\nabla^4 w - k_2 F_{xx} - T_1^\circ w_{xx} - T_2^\circ w_{yy} - T_{1x}^\circ w_x - F_{yy} w_{xx}^\circ - F_{xyy} w_x^\circ &= 0 \\ \nabla^4 F + Eh(k_2 w_{xx} + w_{xx}^\circ w_{yy}) &= 0 \end{aligned} \quad (2.1)$$

Здесь  $\nabla^4 = \nabla^2(\nabla^2)$ ,  $\nabla^2 = (\ )_{xx} + (\ )_{yy}$  – оператор Лапласа;  $x, y$  – продольная и окружная координаты;  $w, F$  – прогиб и функция усилий дополнительного состояния, ответвляющаяся от исходного состояния в точке бифуркации. Все величины, обозначенные градусом в степени, здесь и далее относятся к исходному состоянию оболочки, которое было определено в п. 1.

Введем подстановку (где  $n$  – число волн по окружности)

$$\eta = x/\theta, \quad s = y/\theta, \quad \beta = n/\alpha_0, \quad w = W\theta \cos \beta s, \quad F = \Phi E h k_2 \theta^3 \cos \beta s$$

и преобразуем систему (2.1) к системе обыкновенных дифференциальных уравнений

$$\begin{aligned} W_{\eta\eta\eta\eta} - (2\beta^2 - 2fN^*)W_{\eta\eta} + \beta^2(\beta^2 - 2\nu f N^* - W^\circ \alpha_0^{-1})W + \\ + \beta^2 W_{\eta\eta}^\circ \alpha_0^{-1} \Phi - \Phi_{\eta\eta} + 2N^* f_\eta W_\eta + \alpha_0^{-1} \beta^2 W_\eta^\circ \Phi_\eta = 0 \\ \Phi_{\eta\eta\eta\eta} - 2\beta^2 \Phi_{\eta\eta} + \beta^4 \Phi - \beta^2 \alpha_0^{-1} W_{\eta\eta}^\circ W + W_{\eta\eta} = 0 \end{aligned}$$

Заменим их системой четырех уравнений второго порядка

$$\begin{aligned} W_{\eta\eta} - U = 0, \quad \Phi_{\eta\eta} - \Psi = 0, \quad U_{\eta\eta} - 2(\beta^2 - fN^*)U + \beta^2(\beta^2 + 2\nu f N^* - W^\circ \alpha_0^{-1})W + \\ + \beta^2 \alpha_0^{-1} W_{\eta\eta}^\circ \Phi - \Psi + 2f_\eta N^* W_\eta + \beta^2 \alpha_0^{-1} W_\eta^\circ \Phi_\eta = 0, \quad \Psi_{\eta\eta} - 2\beta^2 \Psi + \beta^4 \Phi - \beta^2 \alpha_0^{-1} W_{\eta\eta}^\circ W + U = 0 \end{aligned} \quad (2.2)$$

Введя вектор-столбец  $\Theta = \{\Phi, W, U, \Psi\}$  и заменив производные конечно-разностными соотношениями, как и в случае исходного состояния оболочки, запишем систему (2.2) в виде системы векторно-матричных алгебраических уравнений

$$C_i \vartheta_{i-1} + B_i \vartheta_i + A_i \vartheta_{i+1} = 0 \quad (i=0, 1, 2, \dots, m) \quad (2.3)$$

Здесь  $A_i, B_i, C_i$  – матрицы четвертого порядка.

Уравнения (2.3) необходимо дополнить граничными условиями, которые в общем случае можно записать в виде

$$G_i(\vartheta_{i+1} - \vartheta_{i-1}) + D_i \vartheta_i = 0 \quad (i=0, m) \quad (2.4)$$

Здесь  $G_i, D_i$  – матрицы четвертого порядка. Их содержание определяется характером граничных условий. Например, для свободно опретых оболочек ( $w = w_{xx} = F_{xx} = F_{yy} = 0$ ) имеем:  $G_i = 0, D_i = I$ .

Нетривиальному решению системы уравнений (2.3), (2.4) соответствует равенство нулю ее определителя. Определитель имеет трехчленное строение и легко приводится к треугольному определителю методом Гаусса в матричной форме [1]. В результате для вычисления определителя получается рекуррентный процесс

$$\Delta = \Delta_p \Delta_1, \quad \Delta_1 = |B_0| \Delta_1^\circ, \quad \Delta_1^\circ = |B_1| \Delta_1^\circ, \quad \Delta_p = |(D_0 + G_0 M_1) M_0 - G_0|$$

$$\Delta_1^\circ = |B_2 B_3^\circ \dots B_m A_m|, \quad B_i^\circ = B_i - A_i B_{i+1} C_{i+1} = B_i + A_i M_{i+1} \quad (2.5)$$

$$M_i = -B_i C_i = -(B_i + A_i M_{i+1})^{-1} C_i, \quad B_m^\circ = D_m - G_m A_m^{-1} B_m, \quad M_m = B_m^{-1} G_m (I + A_m^{-1} C_m)$$

Два соседних вектора при этом связаны зависимостью

$$\vartheta_{i+1} = M_{i+1} \vartheta_i \quad (2.6)$$

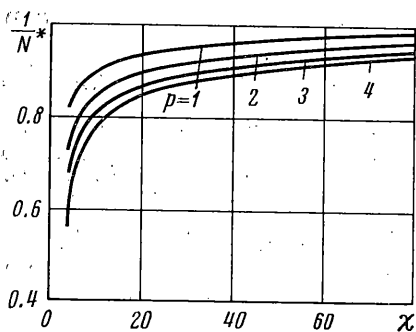
Уравнение  $\Delta = 0$  позволяет найти критическую нагрузку, которая определяется как наименьший корень этого уравнения. Его можно найти графически, насчитав  $\Delta$  для ряда значений параметра нагрузки  $t_1 = N^*$  и проминимизировав значения наименьших корней по параметру волн  $\beta$ . Из зависимости (2.6) можно найти все векторы с точностью до произвольного множителя и, следовательно, определить форму потери устойчивости.

Вместо  $\Delta = 0$  можно использовать также уравнение  $\Delta_p = 0$ , которое соответствует решению системы (2.3), (2.4) методом матричной прогонки [2]. Однако при этом в зависимости определителя от параметра нагрузки могут появляться разрывы второго рода, которые соответствуют нулям отброшенной части полного определителя (2.5). Это обстоятельство надо иметь в виду при нахождении корней уравнения  $\Delta_p = 0$ .

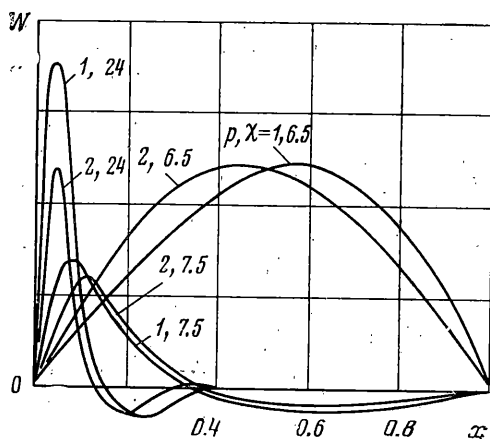
$p$	1	2	3	4	1	2	3	4
<i>A</i>	1.048	1.078	1.113	1.135	1.088	1.198	1.322	1.430
<i>B</i>	1.058	1.111	1.138	1.186				
<i>C</i>	0.894	0.943	0.996	1.047				
<i>D</i>	0.905	0.959	1.012	1.066				
<i>E</i>	0.890	0.939	0.986	1.032	1.003	1.091	1.179	1.269
<i>G</i>	0.900	0.954	1.003	1.048	1.008	1.098	1.195	1.280
<i>A</i>	1.089	1.137	1.180	1.216	1.214	1.456	1.670	1.966
<i>B</i>	1.102	1.184	1.238	1.310				
<i>C</i>	0.948	1.054	1.157	1.255				
<i>D</i>	0.961	1.073	1.187	1.278				
<i>E</i>	0.944	1.041	1.131	1.214	1.101	1.290	1.479	1.680
<i>G</i>	0.958	1.057	1.149	1.234	1.111	1.300	1.498	1.703
<i>A</i>	1.142	1.225	1.294	1.354	1.422	1.905		
<i>B</i>	1.195	1.321	1.440	1.585				
<i>E</i>	1.055	1.245	1.423	1.615	1.342	1.792		
<i>G</i>	1.073	1.264	1.448	1.646	1.355	1.827		

В качестве примера исследуем устойчивость оболочки при полиномиальном законе изменения осевых усилий  $T_1 = -N(1-x/L)^p$ , где  $p=0, 1, 2, \dots$ . При  $p=0$  оболочка сжата равномерно, случаи  $p>0$  соответствуют различным законам неравномерного сжатия.

Для решения уравнения (2.5) была составлена программа для ЭВМ типа М-20. Результаты вычислений значений  $N^*$  приведены в таблице; для свободно опертой



Фиг. 1



Фиг. 2

(левая часть таблицы) и заполненной (правая часть) оболочек при  $\eta_m = 60, 30, 15$  (соответственно верхняя, средняя и нижняя части таблицы). Значение параметра  $\beta$  равнялось 0.39–0.45.

В случае *A* исходное состояние оболочки считалось безмоментным (в уравнениях  $w^o = w_{xx}^o = 0$ ); в случае *B* дополнительно принято  $T_{1x}^o = 0$ , что соответствует действию следящих усилий  $T_1^o$ ; в случае *C* учтена моментность исходного состояния ( $w_{xx}^o \neq 0$ ) и принято  $w_x^o = T_{1x}^o = 0$  (следящие усилия);  $T_{1x}^o = 0, w_{xx}^o \neq 0, w_x^o \neq 0$  в случае *D*;  $w_{xx}^o \neq 0, w_x^o = 0; T_{1x}^o \neq 0$  в случае *E*; учтены моментность исходного состояния и консервативность усилия  $T_1^o$  ( $w_{xx}^o \neq 0, w_x^o \neq 0, T_{1x}^o \neq 0$ ) в случае *G*.

На фиг. 1 показаны зависимости  $N^*$  от параметра  $\chi = \eta_m/\pi$  при различных значениях  $p$  для оболочек при безмоментном исходном состоянии (случай *A*). Для относительно длинных и толстых оболочек это влияние незначительно.

Моментность исходного состояния уменьшает величину критического усилия, за исключением случая очень коротких оболочек при больших значениях  $p$ . С увеличением параметра  $\eta_m$  относительная величина снижения величины критического усилия уменьшается. Короткие оболочки теряют устойчивость с образованием одной полуволны по длине. Искривление образующих оболочки в опоре делают ее более жесткой для такой формы потери устойчивости, чем, по-видимому, и можно объяснить повышение величины критического усилия при учете моментности исходного состояния. Формы потери устойчивости оболочек показаны на фиг. 2.

Поступила 16 I 1974

### ЛИТЕРАТУРА

1. Кабанов В. В. Исследование устойчивости оболочек методом конечных разностей. Изв. АН СССР МТТ, 1974, № 1.
2. Липовцев Ю. В. К устойчивости вязкоупругих и упругих оболочек при наличии локальных напряжений. Инж. ж. МТТ, 1968, № 5.

УДК 539.374

### ПРОДОЛЖИТЕЛЬНОСТЬ УДАРА УПРУГОПЛАСТИЧЕСКОГО СТЕРЖНЯ

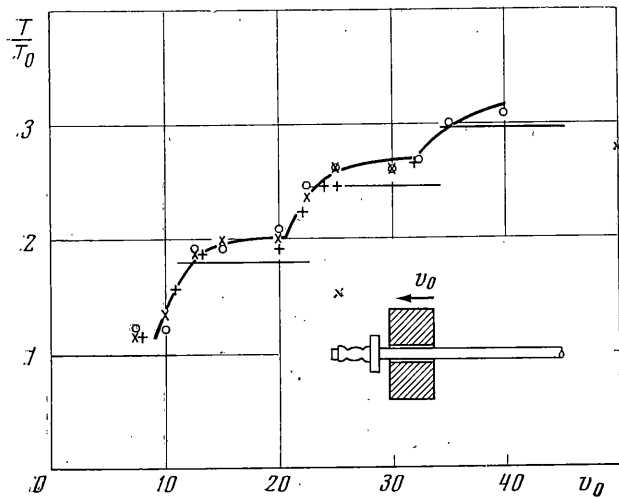
Н. А. ВЕКЛИЧ, Б. М. МАЛЫШЕВ

(Москва)

На основе теории распространения упругопластических волн [1] дается объяснение экспериментально определенной продолжительности удара упругопластических стержней при различных скоростях удара. Приведены результаты измерений продолжительности удара  $T$  по длинным тонким стержням. Экспериментальные данные соизвестствуют с результатами вычислений, выполненных по теории распространения упругопластических волн. В вычислениях использовалась статическая диаграмма расстояния материала.

Для тонких упругих стержней продолжительность удара  $T_0$  вычисляется на основе одномерной волновой теории Сен-Бенана. Предсказания теории, как было показано в работе [2], удовлетворительно согласуются с экспериментом.

Вопрос о продолжительности удара о жесткую преграду упругопластического стержня при линейном упрочнении (схема Прандтля) теоретически впервые был



Фиг. 1